

## بررسی اثر کاربرد گذرای پنتیلن ترازول بر فعالیت عصبی ناحیه CA1 مقاطع زنده هیپوکمپ موش صحرابی

حمیدرضا ماهاجرانی<sup>۱\*</sup>, یعقوب فتح الهی<sup>۲\*</sup>, سعید سمنانیان<sup>۳</sup>, Ph.D.<sup>۴</sup>, آذر عمرانی<sup>۵</sup>, M.Sc.

\* دانشگاه تربیت مدرس، دانشکده علوم پزشکی، گروه فیزیولوژی

★ دانشگاه تهران، انتیتوئی تحقیقات بیوشیمی و بیوفیزیک

آدرس مکاتبه: تهران، صندوق پستی ۱۴۱۱۵-۱۱۱، دانشگاه تربیت مدرس، گروه فیزیولوژی

### چکیده

\* هدف: بررسی شکل پذیری سیناپسی ناشی از تحریک کرازی در ناحیه CA1 مقاطع زنده مستعد فعالیت صرعی هیپوکمپ موش صحرابی.

\* مواد و روشها: این مقاطع با کاربرد پنتیلن ترازول (PTZ: Pentylenetetrazol) به غلظت ۳ mM به مدت ۲۰ دقیقه، به فعالیت صرعی مستعد شدند. فعالیت عصبی به صورت پتانسیل عمل میدانی یاخته‌های هرمی ناحیه CA1 قبل و بعد از اعمال تحریک کرازی ثبت شد. از نمودار ورودی - خروجی دامنه و تأخیر پتانسیل عمل میدانی برای پی‌بردن به میزان کارآمد سیناپس استفاده شد.

\* یافته‌ها: ۲۰ دقیقه پس از کاربرد PTZ و ۵ دقیقه پس از تحریک کرازی، نمودارهای تحریک - پاسخ به سمت چپ جایجا شد و حداقل ۶۰ دقیقه پایدار باقی ماند. در مورد کاربرد PTZ، پتانسیل‌های عمل میدانی اضافی نیز ظاهر شده و تا ۳۰ دقیقه پس از شستشوی PTZ، پایدار ماند. افزایش دامنه ناشی از تحریک کرازی پس از شستشوی PTZ، نسبت به گروه شاهد کمتر بود ولی این کاهش از لحاظ آماری معنی دار نبود.

\* نتیجه‌گیری: نتایج دال بر آن است که کاربرد PTZ به مدت ۲۰ دقیقه برای ایجاد یک مدل صرعی پایدار کافی است. LTP (Long-Term Potentiation) ناشی از تحریک کرازی، نمودار ورودی - خروجی را به سمت چپ جایجا می‌کند. تقویت حاصل از تحریک کرازی در این مدل، بر اثر کاربرد کوتاه مدت PTZ مسدود نمی‌شود، در حالی که فعالیت صرعی تشدید می‌گردد. بنابراین برای ایجاد فعالیت صرعی یک بستر تقویتی در فعالیت عصبی موردنیاز است.

گل واژگان: شکل پذیری سیناپسی، پنتیلن ترازول، ناحیه CA1 هیپوکمپ، تقویت بلندمدت، فعالیت صرعی شکل

## مقدمه

به افزایش کارآیی سیناپسی در اتصالهای تک سیناپسی LTP گفته می شود که در اثر تحریک گذرای تارهای آوران متعاقب یک تحریک کوتاه با فرکانس بالا روی می دهد (۱). LTP در واقع صورتی از شکل پذیری سیناپسی است که بار اول در هیپوکمپ مشاهده شد و هیپوکمپی در سالهای اخیر به عنوان مدل غالب شکل پذیری سیناپسی وابسته به فعالیت در مغز پستانداران مطرح شده است.

از طرفی به دنبال معرفی تقویت بلندمدت و دستیابی به سر نخی در مورد مکانیسمهای مولکولی آن، تحقیقات شان داد که مکانیسمهای که طی LTP تحریکی به کار گمارده می شوند، ضمن آماده سازی حیوانات مستعد به حملات صرع نیز بسیج می گردند. از این رو عدهای از دانشمندان LTP را به عنوان پایه و اساس عصی این پدیده فرض کردند. نورونها و اصولاً شبکه های هیپوکمپ مستعد تخلیه های تشنجی هستند و در پیدایش، گسترش و پایان صرع لوب گیجگاهی دخالت دارند. بنابراین تحقیق در مورد هیپوکمپ چشم انداز روشی را از جهت شناخت کارکرد دستگاه عصبی در شرایط طبیعی و تلاش برای یافتن راه درمان برخی بیماری های راجع عصبی گشوده است. در سالهای اخیر جهت مطالعه فرآیندهای پیچیده مغز در سطح سلولی و مولکولی نکتیک تهیه مقاطع زنده مغزی به کار رفته است. در این روش مقاطع مذکور در شرایط *in vitro* مورد مطالعات الکتروفیزیولوژیکی ... قرار می گیرند. برای مطالعه LTP و حمله های صرعی در هیپوکمپ نیز از این نکتیک در موارد زیادی استفاده شده است.

**پنتیلن ترازاول (PTZ)** به عنوان آنتاگونیست گیرنده GABA<sub>A</sub>، یک ماده شیمیایی تشنج زاست. تزریق متابوپ غلفتی از این دارو که به تشنج منجر نمی شود، به عنوان روشی است که برای تهیه حیوانات مستعد به حملات صرع به کار برده می شود. این ماده شیمیایی تشنج زا، تغییرات بیوشیمیایی ویژه ای در هیپوکمپ به بار می آورد که ماندگار به نظر می رسد (۲).

جهت ارزیابی تأثیر ماندگار LTP و PTZ بر فعالیت سلولهای ناحیه CA1 و واستگی این تأثیرات به زمان و برای رسیدن به اهداف زیر، این طرح پیشنهاد می گردد:

- کاربرد گذرای پنتیلن ترازاول تأثیر ماندگار بر فعالیت یاخته های عصبی ناحیه CA1 می گذارد.
- بررسی شکل پذیری سیناپسی در مقاطع زنده هیپوکمپ که بر اثر کاربرد PTZ مستعد به حمله صرعی شده اند.

## مواد و روشها

### \* حیوانات

آزمایشها روی موش صحرایی سفید آزمایشگاهی نژاد NMRI انجام شد. حیوانات آزادانه به آب و غذا دسترسی داشتند. وزن حیوانات ۱۸۰-۱۳۰ گرم بود و حیوانات در آفاقی که شرایط نوری ۱۲ ساعت تاریکی و ۱۲ ساعت روشنایی داشت، در دمای ۲۴-۲۶ سانتی گراد نگهداری شدند.

در تهیه مقاطع زنده هیپوکمپ و شروع بررسی الکتروفیزیولوژیک مطابق این روش، حیوانات با استفاده از بخارهای اتر به طور عمیق بیهوش شده و سر آنها سریعاً جدا شد. پس از باز کردن استخوان سر، مغز سریعاً برداشته شد و در مایع مغزی نخاعی سرد و اکسیژن قرار گرفت (اکسیژن دهی با کپسول حاوی ۹۵ درصد اکسیژن و ۵ درصد دی اکسید کربن، انجام شد). با استفاده از تیغه، مخچه و بخشی از ساقه که زیر آن قرار دارد از بقیه مغز جدا شد. مغز در محل شیار طولی نصف شد. یک نیمه مغز طوری روی کاغذ صافی خیس شده با مایع مغزی نخاعی سرد اکسیژن قرار داده شد که سطح بریده آن در دسترس فرد باشد. انتهای جلوی آن قطع شده و در امتداد لبه ذمی، عمل برش ادامه یافت تا هیپوکمپ سالم و دستخورده جدا شود. هیپوکمپ در امتداد محور طولی روی یک قطعه مکعبی از آگار چسبانده شد و مجموعه روزی پایه دستگاه ویروتوم نصب گردید. درون محفظه این دستگاه از مایع مغزی - نخاعی سرد اکسیژن پر بود. عمل برش عمود بر محور طولی هیپوکمپ انجام شد تا راههای الکتروفیزیولوژیک حفظ گردد. مقاطعی به ضخامت ۴۵۰ میکرون تهیه شد و در محفظه بافتی که مایع مغزی - نخاعی گرم و اکسیژن، یافت موجود در آن را مشروب می کرد، قرار داده شد (یک پمپ پریستالیک با آهنگ ۲ ml/min) ۲ برای مشروب کردن یافت استفاده شد. دمای محفظه بافتی به طور خردکار در حدود  $32 \pm 2$  سانتی گراد حفظ گردید. این محفظه طوری ساخته شده است که در آن، مقاطع روزی یک لایه توری با یافت ریز و در فصل مشترک مایع و گاز مرطوب قرار می گیرند. بعد از حدود ۲ ساعت، الکترودها در جایگاههای خاص قرار گرفته و بعد از ۳۰ دقیقه اعمال مربوط به آزمایش آغاز شد. به منظور تحریک الکتریکی از پالسهای مربعی به پهنهای ms ۱۵۰-۲۰۰ با جریان ثابت  $\mu$ A ۲۵-۲۰ و فرکانس ۱/۰ هرتز استفاده شد. جهت تحریک کرازی فرکانس پالسها به ۱۰ هرتز تغییر یافت.

### \* ثبت پتانسیل میدانی از ناحیه CA1 مقاطع زنده

**هیپوکمپ**

ثبت پتانسیل میدانی به دو صورت: پتانسیل عمل میدانی (PS) و پتانسیل پس سیناپسی تحریکی میدانی (PEPSP) <sup>(۲)</sup> از لایه جسم سلولی یاخته های هرمی ناحیه CA1 هیپوکمپ ثبت شد. به منظور ثبت EPSP و PS، از میکرو الکترود شیشه ای به مقاومت ظاهری ۲-۱۰ مگا اهم در لایه جسم سلولی استفاده شد.

پتانسیل های میدانی در پاسخ به تحریک یاخته های جانبی شافر تولید می شوند. ابتدا هر مقطع زنده به مدت ۱۰ الی ۱۵ دقیقه تحریک شد تا یاخته های آن به حد پایدار رسید. مقطعی که پاسخ پایدار نداشت از مجموعه داده ها حذف شد. پس از پایدار شدن یاخته های شافر از در محدوده ۲۵ تا ۲۰۰ میکرو آمپر به یاخته های جانبی شافر اعمال

1. Field potential
2. Population Spike
3. Population Excitatory Postsynaptic Potential

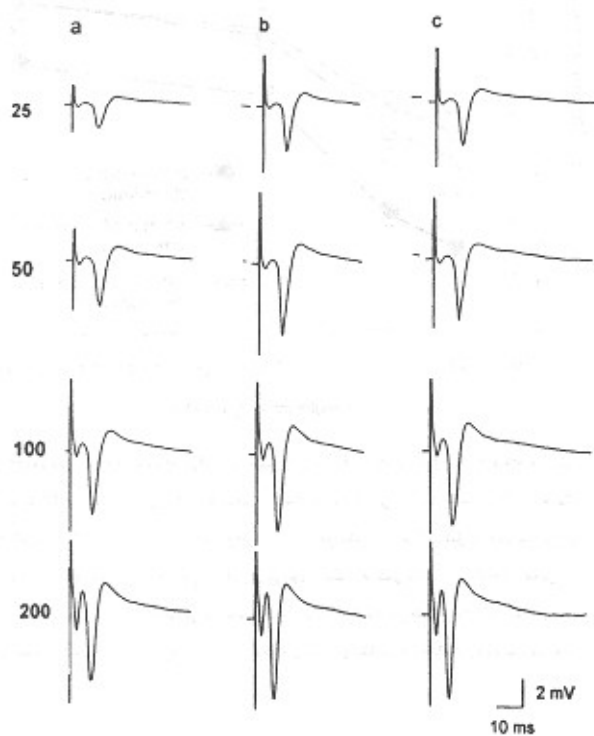


## یافته‌ها

\* اثر تحریک الکتریکی بر مشخصات پتانسیل میدانی مقاطع زنده هیپوکمپ

نمودار تحریک - پاسخ (دامنه PS در شدتهاي مختلف تحریک)

شکل ۱ نمونه‌ای از پتانسیل‌های عمل میدانی را در لایه یاخته‌های هرمی ناحیه CA1 می‌نماید. مقاطع زنده هیپوکمپ نشان می‌دهد که به دنبال تحریک اشعابات جانبی شافر، قبل از تحریک کرازی، ۳۰ و ۶۰ دقیقه پس از تحریک کرازی در چهار شدت ۲۵، ۵۰، ۱۰۰ و ۲۰۰ میکروآمپر ثبت شده است. همانطور که از شکل پیداست، بعد از اعمال تحریک کرازی دامنه PS افزایش و دوره تأخیری PS کاهش یافته است و آثار تحریک کرازی بر مشخصات پتانسیل‌های میدانی حتی ۶۰ دقیقه بعد از اعمال تحریک نیز باقی مانده است.



شکل ۱: نمونه‌ای از پتانسیل‌های عمل میدانی ثبت شده در لایه یاخته‌های هرمی ناحیه CA1 مقاطع زنده هیپوکمپ: a: قبل از تحریک کرازی، b: ۳۰ دقیقه بعد از تحریک کرازی و c: ۶۰ دقیقه بعد از تحریک کرازی، در چهار شدت تحریک ۲۵، ۵۰، ۱۰۰ و ۲۰۰ میکروآمپر.

شکل ۲ میانگین دامنه PS را به صورت تابعی از شدت تحریک در ناحیه CA1 مقاطع زنده هیپوکمپ قبل و ۳۰ و ۶۰ دقیقه پس از اعمال تحریک کرازی نشان می‌دهد. همان‌طور که از نمودار پیداست، با افزایش شدت تحریک، دامنه PS در مقاطع زنده افزایش یافته است. این نمودار نشان می‌دهد که میانگین دامنه PS بعد از اعمال تحریک

1. Amplitude
2. Repeated measurement ANOVA
3. Completely randomized ANOVA

شد. پاسخهای مربوط دریافت، تقویت و پالایش (۱۰-۱۵ کیلو هرتز) شد. صورت نهایی پاسخ با استفاده از مبدل سیگنال‌های آنالوگ به دیجیتال به صورت رقی تبدیل شده و با آهنگ ۲۰ کیلو هرتز نمونه‌برداری و در حافظه کامپیوتر ذخیره شد.

## \* تجزیه و تحلیل اطلاعات

به دنبال تحریک شاخه‌های جانبی شافر باشد کافی، پاسخ لایه یاخته‌های هرمی ثبت شد. این موج از PEPSP، Stimulus artifact PS تشکیل شده است. متوسط پاسخهای ثبت شده، پس از برهم نهادن ۱۰ پاسخ متوالی تعیین و از روی امواج متوسط، شاخصهای زیر اندازه گیری شد:

دامنه PS: از قله موج ثبت تا قله اوپین موج منفی جهت ارزیابی پتانسیل‌های میدانی در گروههای مختلف از دامنه PS استفاده گردید.

برای ارزیابی میزان صرع‌زایی براساس گزارش‌های متعدد از میزان افزایش دامنه پتانسیل میدانی و درصد بروز نسبی پتانسیل‌های عمل میدانی اضافی استفاده شد.

هر یک از شاخصهای مورد نظر برای پاسخ‌ها قبل و بعد از حضور پنتیلن ترازوول یا ۳۰-۶۰ دقیقه بعد از شستشوی پنتیلن ترازوول در هر سطحی از شدت جریان الکتریکی اندازه گیری شد. سپس برای هر مقطع زنده، میزان تغییر بر حسب درصد در هر بخش از پاسخ به صورت زیر محاسبه گردید، مثلاً:

$$\frac{\text{دامنه PS قبل از حضور پنتیلن ترازوول} - \text{دامنه PS بعد از حضور پنتیلن ترازوول}}{\text{دامنه PS قبل از حضور پنتیلن ترازوول}} \times 100$$

این روش جهت محاسبه تغییر بر حسب درصد، در مورد تقویت و ماندگاری آن در ۵، ۱۵، ۳۰ و ۶۰ دقیقه بعد از اعمال تحریک با الگوی PBS نیز صورت پذیرفت:

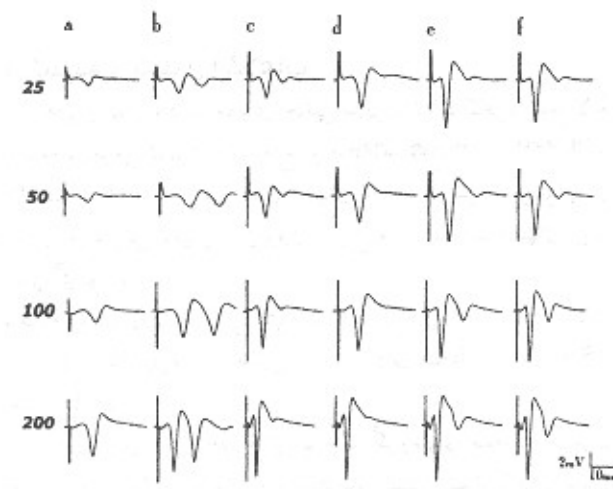
$$\frac{\text{دامنه PS قبل از اعمال PBS} - \text{دامنه PS بعد از اعمال PBS}}{\text{دامنه PS قبل از اعمال PBS}} \times 100$$

## \* روشهای آماری

برای مقایسه چند گروه، از آنالیز واریانس استفاده شد. در مواردی که گروهها مستقل نبوده‌اند و مراحل آزمایش بر روی یک نمونه تکرار می‌شوند، از آنالیز واریانس متغیر تکراری<sup>۲</sup> استفاده شد (مثلاً مقایسه میانگین دامنه PS قبل و بعد از حضور پنتیلن ترازوول). در صورتی که گروهها مستقل بودند، نتایج با استفاده از آنالیز واریانس کاملاً تصادفی<sup>۳</sup> مورد ارزیابی قرار گرفت (مثلاً مقایسه درصد افزایش دامنه PS در گروه PTZ-treated و گروه Naive). به دنبال آنالیز واریانس جهت مقایسه میانگین گروهها از آزمون توکی استفاده شد. در همه نمودارها، اطلاعات به صورت میانگین ± خطای معیار ارائه شده است. در هر روش آماری،  $P < 0.05$  به عنوان سطح معنی‌دار تلقی شده است.

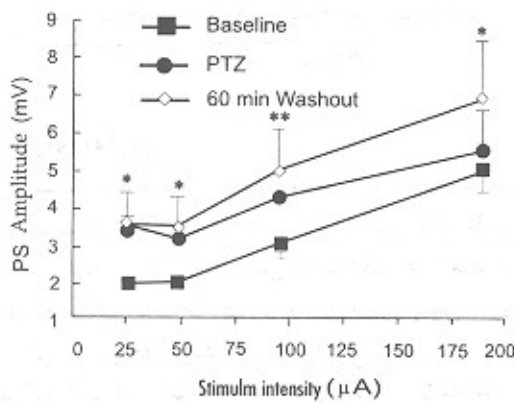


اعمال تحریک کرزاژی دامنه PS افزایش و دوره تأخیری PS کاهش یافته است و پتانسیل های عمل میدانی اضافی دوباره ظاهر شده اند و این آثار حتی در ۶۰ دقیقه بعد از تحریک کرزاژی پایدار باقی مانده اند.



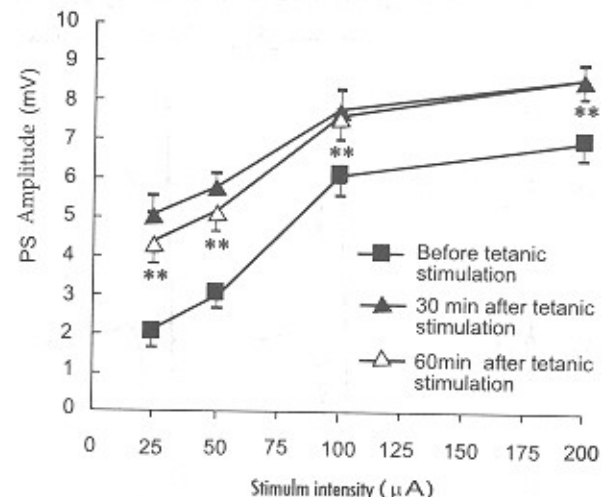
شکل ۱: نمونه ای از پتانسیل های میدانی ثبت شده در لایه باخته های هرمی ناحیه CA1 مقاطع زنده هیپوکمپ: (a): قبل از کاربرد PTZ، (b): ۲۵ دقیقه بعد از کاربرد PTZ، (c): ۳۰ دقیقه بعد از تحریک کرزاژی، (d): ۶۰ دقیقه بعد از شستشوی PTZ، (e): ۲۰ دقیقه پس از اعمال تحریک کرزاژی، در چهار شدت تحریک ۲۵، ۵۰، ۱۰۰ و ۲۰۰ میکروآمپر.

شکل ۴ میانگین دامنه PS را به صورت تابعی از شدت تحریک در ناحیه CA1 مقاطع زنده هیپوکمپ قبل و ۶۰ دقیقه بعد از کاربرد PTZ ۶۰ دقیقه بعد از شستشوی PTZ نشان می دهد. این نمودار بیانگر آن است که میانگین دامنه PS بعد از کاربرد و شستشوی PTZ در هر چهار شدت تحریک و بیوژه در شدت های تحریک کاربرد پایین (۲۵، ۵۰ و ۱۰۰ میکروآمپر) از میانگین دامنه PS قبل از کاربرد PTZ بالاتر است.



شکل ۲: نمودار تحریک پاسخ برای میانگین دامنه PS (mV) ناحیه CA1 مقاطع زنده هیپوکمپ قبل و ۶۰ دقیقه بعد از کاربرد PTZ در شدت های مختلف تحریک ۲۵، ۵۰، ۱۰۰ و ۲۰۰ میکروآمپر. مقاومت میانگین دامنه PS قبل از تحریک کرزاژی با ۳۰ و ۶۰ دقیقه پس از اعمال تحریک کرزاژی در چهار شدت مذکور با  $P < 0.01$  (\*\*) معنی دار است. در همه موارد، مقادیر ششانگر میانگین داده ها با SEM بد طرقه (و با) هستند. آزمون آماری استفاده شده آنالیز واریانس متغیر تکراری لست و مقادیر از ۸ مقطع زنده بدست آمده است.

کرزاژی و گذشت ۳۰ و ۶۰ دقیقه از آن در هر چهار شدت تحریک و بیوژه در شدت های تحریک پایین، از میانگین دامنه PS قبل از اعمال تحریک کرزاژی بالاتر است. مقایسه آماری با استفاده از آنالیز واریانس متغیر تکراری نشان می دهد که تفاوت کلی بین گروه ها معنی دار است ( $P < 0.0001$ )، اما آزمون توکی دال بر آن است که این تفاوت در تمام شدت های بین گروه قابل ارزیابی باشد. گروه ۳۰ و ۶۰ دقیقه بعد از تحریک کرزاژی با  $P < 0.01$  معنی دار است. در حالی که بین گروه ۳۰ دقیقه بعد از تحریک کرزاژی و گروه ۶۰ دقیقه پس از تحریک کرزاژی اختلاف تثنا در شدت های ۲۵ (۰.۰۵) و ۵۰ میکروآمپر ( $P < 0.01$ ) معنی دار است.



شکل ۳: نمودار تحریک پاسخ برای میانگین دامنه PS (mV) ناحیه CA1 مقاطع زنده هیپوکمپ قبل و ۶۰ دقیقه بعد از کاربرد کرزاژی با شکوی PB در چهار شدت تحریک ۲۵، ۵۰، ۱۰۰ و ۲۰۰ میکروآمپر. مقاومت میانگین دامنه PS قبل از تحریک کرزاژی با ۳۰ و ۶۰ دقیقه پس از اعمال تحریک کرزاژی در چهار شدت مذکور با  $P < 0.01$  (\*\*) معنی دار است. در همه موارد، مقادیر ششانگر میانگین داده ها با SEM بد طرقه (و با) هستند. آزمون آماری استفاده شده آنالیز واریانس متغیر تکراری لست و مقادیر از ۸ مقطع زنده بدست آمده است.

\* اثر کاربرد گذرای PTZ و تحریک کرزاژی متعاقب آن بر مشخصات پتانسیل میدانی مقاطع زنده هیپوکمپ نمودار تحریک - پاسخ (دامنه PS) در شدت های مختلف تحریک ().

شکل ۳ نمونه ای از پتانسیل های عمل میدانی را در لایه باخته های هرمی ناحیه CA1 مقاطع زنده هیپوکمپ نشان می دهد که به دنبال تحریک انشعابات جانبی شافر، قبل و ۶۰ دقیقه بعد از کاربرد PTZ ۳۰ و ۶۰ دقیقه بعد از شستشوی، قبل از تحریک الکتریکی کرزاژی با الگوی PB و ۳۰ و ۶۰ دقیقه پس از تحریک کرزاژی فوق در چهار شدت تحریک ۲۵، ۵۰، ۱۰۰ و ۲۰۰ میکروآمپر ثبت شده است.

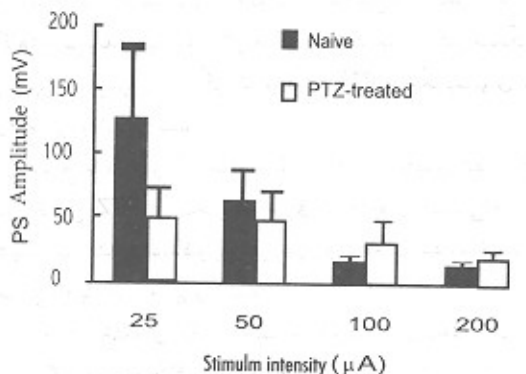
همانطور که از شکل پیداست بعد از کاربرد PTZ، در چهار شدت مذکور، دامنه PS افزایش و دوره تأخیری PS کم شده و پتانسیل های عمل میدانی اضافی ظاهر شده اند. از طرفی بعد از شستشوی PTZ، تعداد و دامنه های پتانسیل های عمل میدانی اضافی کاهش یافته است، پس از

پتانسیل‌های عمل میدانی در شدت‌های تحریک بالاتر، بیشتر است (بطورکلی در تمامی مقاطع زنده، بعد از کاربرد PTZ بروز نسبی پتانسیل‌های عمل میدانی اضافی در چهار شدت مذکور بسیار بالا رفته و در عین حال با افزایش شدت تحریک، بروز نسبی پتانسیل‌های عمل میدانی اضافی افزایش یافته است).

بعد از شستشوی PTZ، تعداد و دامنه پتانسیل‌های عمل میدانی اضافی کاهش یافته است، ولی بعد از ۳۰ دقیقه شستشو، هنوز آثاری از پتانسیل‌های عمل میدانی اضافی مخصوصاً در شدت ۲۰۰ میکروآمپر وجود دارد و پس از ۶۰ دقیقه شستشو این آثار تقریباً از بین رفته‌اند، اما ۳۰ و ۶۰ دقیقه پس از اعمال تحریک کژازی مجدداً این پتانسیل‌های عمل میدانی اضافی به تعداد و دامنه‌ای کمتر از زمان استفاده از PTZ ظاهر شده‌اند.

### \* مقایسه پاسخ مقاطع زنده هیپوکمپ شاهد و مقاطعی که تحت تأثیر PTZ قرار گرفته‌اند اثر PS بر دامنه PTZ

شکل ۶ میانگین درصد افزایش دامنه PS در ناحیه CA1 مقاطع زنده هیپوکمپ، ۶۰ دقیقه پس از اعمال تحریک الکتریکی کژازی در مقاطع Naive و Naive ۶۰ دقیقه بعد از اعمال تحریک کژازی (پس از گذشت ۶۰ دقیقه از شستشو PTZ) در مقاطع PTZ-treated (پس از گذشت ۶۰ دقیقه از شستشو PTZ) در مقاطع زنده هیپوکمپ، ۲۵، ۵۰، ۱۰۰ و ۲۰۰ میکروآمپر را نشان می‌دهد. همان‌طور که از نمودار پیداست در هر دو گروه با تحریک الکتریکی کژازی دامنه PS افزایش یافته است

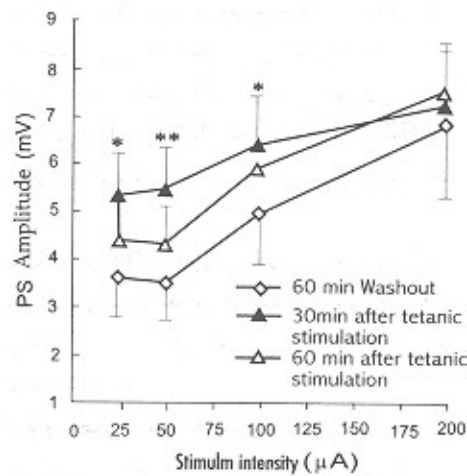


شکل ۷ نمودار ستونی میانگین برآمدۀ افزایش دامنه PS ناحیه CA1 مقاطع زنده هیپوکمپ، آزمون آماری مورد استفاده، آنالیز واریانس متغیر کامل‌اً خصائصی است. در همه موارد مقادیر، نتایگر میانگین داده‌ها با SEM (بطرفه (بیت) هستند و این مقادیر در گروه Naive از ۶ مقطع زنده و بر گروه PTZ-treated از ۸ مقطع زنده بدست آمدند.

ولی در حضور PTZ و در شدت‌های پایین‌تر، از میزان این افزایش کاسته شده است. مقایسه آماری با استفاده از آنالیز واریانس متغیر کامل‌اً تصادفی نشان می‌دهد که تفاوت کلی بین گروه‌ها معنی دار است ( $P<0.01$ )؛ اما آزمون توکی دال بر آن است که این تفاوت فقط بین گروه ۶۰ دقیقه پس از شستشوی PTZ و گروه ۳۰ دقیقه پس از تحریک کژازی در شدت ۲۵ و ۱۰۰ میکروآمپر با  $P<0.05$  و در شدت ۵۰ میکروآمپر با  $P<0.01$  معنی دار است.

همچنین افزایش این دامنه ۶۰ دقیقه پس از شستشو از بین نرفته و حتی افزایش یافته است که نمایانگر ماندگاری اثر PTZ بر دامنه PS است. مقایسه آماری با استفاده از آنالیز واریانس متغیر تکراری نشان می‌دهد که تفاوت کلی بین گروه‌ها معنی دار است ( $P=0.0001$ ) اما آزمون توکی دال بر آن است که این تفاوت بین گروه قبل از اعمال ۲۵ میکروآمپر و گروه ۳۰ دقیقه پس از شستشوی PTZ تنها در شدت ۲۵ معنی دار است ( $P<0.05$ ) و بین گروه قبل از اعمال ۶۰ دقیقه پس از شستشوی PTZ در همه شدت‌ها معنی دار است که در شدت ۴۵، ۵۰، ۶۰ دقیقه پس از شستشوی PTZ در شدت ۲۰۰ میکروآمپر با  $P<0.05$  و در شدت ۱۰۰ میکروآمپر با  $P<0.01$  است.

شکل ۵ میانگین دامنه PS را به صورت تابعی از شدت تحریک ۶۰ دقیقه پس از شستشوی PTZ، ۳۰ و ۶۰ دقیقه پس از تحریک کژازی با الگوی PB نشان می‌دهد. همان‌طور که از نمودار پیداست میانگین دامنه PS، ۳۰ و ۶۰ دقیقه پس از اعمال تحریک کژازی بویژه در شدت‌های ۱۰۰، ۱۵۰ و ۲۰۰، بالاتر از میانگین دامنه PS در ۶۰ دقیقه پس از شستشوی PTZ است.



شکل ۶ نمودار تحریک پاسخ برای میانگین دامنه PS ناحیه CA1 مقاطع زنده هیپوکمپ، در همه موارد، مقادیر نشانگر میانگین داده‌ها با SEM (بطرفه (بیت) هستند آزمون آماری استفاده شده آنالیز واریانس متغیر تکراری است و مقادیر از ۸ مقطع زنده  $*P<0.01$   $**P<0.05$  پیش آمده است.

مقایسه آماری با استفاده از آنالیز واریانس متغیر تکراری نشان می‌دهد که تفاوت کلی بین گروه‌ها معنی دار است ( $P<0.01$ )؛ اما آزمون توکی دال بر آن است که این تفاوت فقط بین گروه ۶۰ دقیقه پس از شستشوی PTZ و گروه ۳۰ دقیقه پس از تحریک کژازی در شدت ۲۵ و ۱۰۰ میکروآمپر با  $P<0.05$  و در شدت ۵۰ میکروآمپر با  $P<0.01$  معنی دار است.

\* ظهور پتانسیل‌های میدانی اضافی همان‌طور که در شکل ۳ نشان داده شده، به دنبال کاربرد PTZ پتانسیل‌های عمل میدانی اضافی ظاهر شده است. اما تعداد این

## بحث

### \* آثار ماندگار کاربرد کوتاه مدت PTZ بر مشخصات پتانسیل عمل میدانی ناحیه CA1 مقاطع زنده هیپوکمپ

مطالعه و بررسی مکانیسمهای دخیل در تولید و انتشار فعالیت صرعی شکل با استفاده از مدل *in vitro* تشنج و به کار بردن PTZ بسیار سودمند است. در این مدل می‌توان آثار کاربرد گذراي PTZ را بر پتانسیل عمل میدانی ناحیه CA1 بررسی نمود. آزمایش‌های ما نشان می‌دهد که PTZ تغییراتی را در ناحیه CA1 هیپوکمپ ایجاد می‌کند که ماندگار به نظر می‌رسد. از آنجاکه تغییرات ماندگاری در فعالیت باخته‌های عصبی به دنبال فعالیت تشنجی در مغز ایجاد می‌شود، لذا از این مدل می‌توان برای پی بردن به مکانیسمهای دخیل در بقای فعالیت تشنجی و کنترل آن استفاده نمود.

ارزیابی انتقال سیناپسی در ناحیه CA1 هیپوکمپ با استفاده از دامنه و دوره تأخیری پتانسیل عمل میدانی دال بر آن است که PTZ می‌تواند روابط ورودی - خروجی سیناپسی را بین شاخه‌های شافر و باخته‌های هرمی ناحیه CA1 تغییر دهد.

از طرف دیگر با استفاده از اندازه گیری‌های مریبوط به ثبت پتانسیل میدانی سیناپسی مذکور بعد از حذف PTZ، می‌توان تا حدودی به تغییرات ماندگار در فعالیت باخته‌های عصبی به دنبال کاربرد کوتاه مدت PTZ پی بردا. افزایش میانگین دامنه پتانسیل عمل میدانی (PS) بعد از کاربرد و شستشوی PTZ قابل توجه است. از طرف دیگر پس از کاربرد PTZ، پتانسیل‌های عمل میدانی اضافی ظاهر می‌شوند؛ هر چند که با شستشوی PTZ، تعداد و درصد بروز پتانسیل‌های عمل میدانی اضافی کاهش می‌یابد. پایداری آثار مذکور، خصوصاً افزایش میانگین دامنه پتانسیل عمل میدانی بیانگر اثر ماندگار PTZ بر مکانیسمهای مریبوط به وقوع این پتانسیل است.

نتایج ما نشانگر آن است که قرار دادن باخته‌های عصبی هیپوکمپ در معرض PTZ در تحریک‌پذیری باخته‌های عصبی ناحیه CA1 هیپوکمپ، تشدید ماندگار بوجود آورده که با استفاده از ثبت پتانسیل میدانی، قابل اندازه گیری است.

تعداد باخته‌های عصبی تخلیه شده و همزمانی تخلیه آنها، دو عامل تعیین کننده دامنه PS است. ممکن است عواملی مانند اثر میدان الکتریکی، اثر افاضیک، تغیر در محیط برون باخته‌ای، به همزمانی تخلیه باخته‌های عصبی منجر شود و در نتیجه در افزایش دامنه PS نقش دارد. در شدت‌های بالا (مثل ۲۰۰ میکروآمپر) که در آن اکثر باخته‌ها از قبیل بسیج شده‌اند، همزمانی تخلیه آنها نقش اصلی را در افزایش دامنه PS ایفا می‌کند. در عین حال، عوامل سیناپسی که موجب در هم شکن مکانیسمهای مهاری می‌شوند و نیز موجب تقویت مکانیسمهای تحریکی می‌گردند، موجب همزمانی تخلیه باخته‌های عصبی و تولید فعالیتهای صرعی شکل می‌شوند (۳).

بنابراین افزایش دامنه PS به دنبال کاربرد PTZ می‌تواند ناشی از افزایش همزمانی تخلیه باخته‌های عصبی از طریق آثار سیناپسی با غیر

سیناپسی PTZ باشد. این یافته توسط نتایج سیناپسی از مطالعات دیگر حمایت می‌شود؛ از طریق عوامل سیناپسی و غیرسیناپسی در افزایش تحریک‌پذیری باخته‌های عصبی در صرع زانی نقش دارد و از طریق آثار سیناپسی خواص غشای عصبی را تشدید می‌کند (۴).

در باخته‌هایی که از ورودیهای سیناپسی جدا شده‌اند، PTZ موجب نوساناتی در امواج آهسته پتانسیل غشا و الگوی تخلیه دسته‌ای می‌شود. مطالعات در تخمک *Xenopus* نشان داده است که PTZ یک جریان رو به داخل را که مریبوط به کاهش نفوذ‌پذیری به پتانسیم و افزایش نفوذ‌پذیری به کلر است، القا می‌کند (۵).

PTZ به صورت وابسته به ولتاژ، روی کانالهای پتانسیمی یک‌سوکنده<sup>۱</sup> (یکی از فراوانترین انواع کانالهای پتانسیمی در مغز موش صحرابی) عمل می‌کند. در پتانسیل‌های منفی جریان پتانسیمی بوسیله PTZ افزایش می‌یابد و در نتیجه دپلاریزاسیونهای کوچک کاهش می‌یابند. این عمل به کاهش تخلیه‌های خودبه‌خودی منجر می‌شود. در این شرایط تعداد باخته‌های عصبی که برای فرایند تشنج بسیج می‌شوند، افزایش می‌یابد. در پتانسیل‌های مثبت، جریان پتانسیمی به بوسیله PTZ کاهش می‌یابد و دپلاریزاسیونهای بزرگ افزایش می‌یابند و در نتیجه به همزمانی و تشدید تحریک‌پذیری باخته‌های عصبی منجر می‌شود.

مطالعه باخته‌های عصبی قشر مغز موش سوری در محیط کشت با استفاده از روش Patch-clamp نشان داده است که PTZ با اثر بر زمان باز و بسته بودن کانالهای پتانسیمی حالتی شبیه تخلیه دسته‌ای<sup>۲</sup> القا می‌کند (۶).

از طرف دیگر با اثر بر انتقال سیناپسی برای کاهش مهار یا تشدید تحریک از طریق تعدیل جریانهای غشایی وابسته به پیکهای عصبی می‌تواند موجه ب افزایش همزمانی تخلیه باخته‌های عصبی و بروز فعالیت تشنجی شود (۷).

باخته‌های عصبی راسته در هیپوکمپ به طور عمده گابا ارزیک هستند و به عنوان پایه و ساس فیزیولوژیک برای مهار پس خور<sup>۳</sup> و مهار پیش‌گستر<sup>۴</sup> عمل می‌کنند.

شواهد زیادی نشان می‌دهند که ن در انتقال عصبی ناشی از گابا ممکن است در تولید تشنج در انسانها و مدل‌های حیوانی صرع نشش داشته باشد.

به کار بردن آثاگونیستهای گیرنده گابای A موجب القای فعالیت صرعی شکل در مدل‌های *in vivo* و *in vitro* می‌شوند (۱۲). تعداد زیادی از باخته‌های گابا ارزیک در کانونهای صرع از بین می‌روند که نشانگر اهمیت تغییرات گابا ارزیک برای تولید صرع است. ارتباط دقیقی بین کاهش گیرنده‌های پس سیناپسی گابا و فرکانس تشنج وجود دارد. از طرفی مطالعات نشان داده است که PTZ به طور انتخابی پاسخهای پس سیناپسی به گابا را باستثنی کانال کلری مرتبط با گیرنده

1. Rectifier

2. Bursing-type open close state

3. Feed back

4. Feed forward



سطح نسخه برداری رخ می دهد (۱۰). محصول ژنهای اولیه، پروتئین های متصل به DNA هستند که تصور می شود در یک طرح هماهنگ نسخه برداری از ژنهای عمل کننده بعدی را تغییر دهند. ژنهای اخیر ممکن است آنزیمهها، نوروپیتیدها، گیرندها، کاتالیتی بونی، پروتئین های ساختمانی، فاکتور های رشد و... را کدگذاری کنند و ممکن است تغییرات بیوشیمیابی و یا مورفوولوژیک در غز ایجاد کنند. بنابراین ژنهای اولیه ممکن است به عنوان سوئیچهای مولکولی عمل کنند و برنامه شکل پذیری را ذر یاخته های عصبی با طرحی مشابه با القای برنامه های رشد و تمایز در یاخته های در حال تقسیم، به راه اندازند. بنابراین تشدید ماندگاری فعالیت یاخته های عصبی ناحیه CA1 هیپرکمپ به دنبال کاربرد PTZ می تواند از تغییر در اجزای پیش و پس سیناپسی، برون سیناپسی، ریخت شناسی و تغییرات بیوشیمیابی در یاخته های عصبی هیپرکمپ ایجاد شود. از طرف دیگر، تشدید آثار PTZ به دنبال شستشوی آن نیز می تواند تغییرات بیوشیمیابی ناشی از PTZ را که در دراز مدت بروز نموده اند، بازگو نماید. هرچند که مکانیسم دقیق این آثار و ماندگاری آنها، نیاز به تحقیقات بیشتری دارد.

### \* اثر فعالیت صرعی شکل ناشی از PTZ بر شکل پذیری سیناپسی ناشی از تحریک الکتریکی کزانی

با توجه به اینکه کاربرد گذرای PTZ تغییراتی ماندگار در پاسخ ناحیه CA1 مقاطع زنده هیپرکمپ ایجاد می کند، می توان در این مدل آثار فعالیتهای صرعی شکل ناشی از کاربرد گذرای PTZ را بر القای پایداری شکل پذیری سیناپسی متعاقب آن برسی نمود.

یکی از آثار ماندگار PTZ بر مشخصات پتانسیل میدانی ناحیه CA1 هیپرکمپ که قبلاً نیز به آن اشاره شد، افزایش دامنه PS است. ارزیابی انتقال سیناپسی با استفاده از اندازه گیری دامنه PS به دنبال کاربرد نشان داد که PTZ می تواند انتقال سیناپسی را در سپاههای شاخه جانی شافر به دندربیت یاخته های هرمی ناحیه CA1 افزایش دهد. افزایش پایدار دامنه PS، ۶۰ دقیقه پس از شستشوی PTZ شانگر اثر ماندگار PTZ بر دامنه PS است. در مطالعاتی که توسط Leung و همکارانش برای القای LTP ناشی از تحریک کزانی در مقاطع زنده هیپرکمپ انجام شد، الگوی مشابهی از تقویت دامنه پتانسیل میدانی گزارش شده است (۱۱). مقایسه منحنی های I/O قبل و بعد از القای LTP هیپرکمپ در مقاطع زنده ای که در اثر آتنا گونیست های گابا در آنها، رفع مهار رخ داده است به سهولت انجام می گیرد. اتفاقاً ماندگار در سیستم گابا ارژیک بر اثر شستنجات و کینولینگ ناشی از PTZ رخ می دهد (۱۲). تشدید پیشونده کارآیی سیناپسی تحریکی از طریق حساسیت غشای پس سیناپسی به پیکه های عصبی که در انتقال مهاری و شکل پذیری مهم هستند و دپلاریزاسیون پس سیناپسی بزرگتر که موجب افزایش یون کلسیم در یاخته پس سیناپسی می شود، ممکن است در تشدید تقویت ناشی از تحریک کزانی نقش داشته باشد. تحریک کزانی و فعالیت

گتابای A مسدود می کند (۸). ثبت درون یاخته ای از ناحیه CA1 هیپرکمپ نشان داده است که PTZ با غلظت ۱ تا ۲ میلی مولار، بخش ابتدایی پتانسیل های پس سیناپسی مهاری (IPSP) یا بخش سریع را تضعیف می کند ولی روی قسمت انتهایی IPSP اثر ندارد (۹).

ظهور پتانسیل های عمل میدانی اضافی به دنبال کاربرد مواد تشنج زا به عنوان یکی از شاخصهای صرع زای در مطالعات مختلف گزارش شده است. به دنبال کاربرد PTZ نیز پتانسیل های عمل میدانی اضافی ظاهر شده اند که نمایانگر نقش در تشدید تحریک پذیری و تولید فعالیت صرعی شکل در یاخته های عصبی هیپرکمپ است. اگرچه نخستین پتانسیل عمل میدانی به وسیله مکانیسمهای سیناپسی و در اثر تحریک سری دندربیت یاخته های هرمی به وسیله مکانیسمهای شافر ایجاد می شود، تولید پتانسیل عمل میدانی اضافی به مکانیسمهای Coupling ممکن است که ارتباط کافی برای حفظ همزمانی تحریک بین جمعیتی از یاخته های هرمی می کند. از طرفی، چون پتانسیل های عمل میدانی اضافی می توانند به طور فاماکولوژیک تضعیف شوند، احتمالاً از طریق مکانیسمهای موضعی تر تولید و منتشر می شوند. ثبت همزمان درون و برون یاخته های یاخته نشان داده است که پتانسیل متعاقب دپلاریزه کننده کوچک در پتانسیل متعاقب دپلاریزه کننده (PAD)<sup>۱</sup> مرتبط ندارد. این نوسانات، تغییرات غشایی ناشی از تخلیه های متعاقب یاخته های هرمی ناحیه CA1 هیپرکمپ هستند. بنابراین افزایش تعداد پتانسیل های عمل میدانی اضافی احتمالاً منعکس کننده الگوی تخلیه همزمان شده تعدادی از یاخته های هرمی ناحیه CA1 هیپرکمپ است که تحریک پذیری بالایی دارند (۳). از طرف دیگر، افزایش تعداد پتانسیل های عمل میدانی اضافی به شدت تحریک وابسته است. به طوری که در شدت های تحریک بالاتر، تعداد پتانسیل های مذکور افزایش می یابد. افزایش مدت پتانسیل پس سیناپسی تحریکی، می تواند موجب افزایش تعداد پتانسیل های عمل میدانی اضافی شود. بنابراین ظهر پتانسیل های عمل میدانی اضافی به دنبال کاربرد PTZ این یافته را که PTZ از طریق افزایش همزمانی تخلیه یاخته های عصبی هیپرکمپ موجب تشدید تحریک پذیری یاخته های عصبی می شود، تأیید می کند. علاوه بر این احتمالاً با انسداد پاسهای پس سیناپسی گابا و تضعیف پتانسیل های پس سیناپسی مهاری و فعال سازی NMDA، موجب افزایش مدت پتانسیل های پس سیناپسی تحریکی و در نتیجه دپلاریزاسیون مدام غشاء و ظهر پتانسیل های عمل میدانی اضافی می شود (۴). تشدید ماندگار انتقال سیناپسی به دنبال کاربرد دامنه PS که با افزایش دامنه PS، ۳۰ و ۶۰ دقیقه بعد از شستشوی PTZ قابل اندازه گیری است، شانگر اثر ماندگار PTZ بر مشخصات پتانسیل میدانی است.

روی بیان برخی از ژنهای اثر می گذارد. محصول این ژنهای اعمال آنها می تواند به عنوان مکانیسمهای تغییرات فیزیولوژیک ماندگار PTZ باشد. شش ساعت بعد از تزریق PTZ نسخه برداری از ژنهای C-Fos، دینوتوفین و نوروپیتید ۷ در هیپرکمپ افزایش می یابد. بنابراین تنظیم مقادیر mRNA مربوط به ژنهای اولیه و دونوروپیتید، حداقل در

گیرنده NMDA منجر به افزایش کلسیم داخل یاخته‌ای می‌شود و ورود کلسیم، جریانهای رو به داخل ناشی از گابا<sub>A</sub> را کاهش می‌دهد. به عبارت دیگر، ورود کلسیم موجب تغییر تراکم یا رفتار کیتیکی گیرنده‌هایی می‌شود که در شکل پذیری سیناپسی دخیل هستند (۱۲).

## References

- Pourmotabbed A, Motamedi F, Fathollahi Y, Mansouri F, Semnanian S: Involvement of NMDA receptors and voltage-dependent calcium channels on augmentation of long term potentiation in hippocampal CA1 area of morphine dependent rats. *Brain Res* 1998; 31: 125-134
- Fathollahi Y, Motamedi F, Semnanian S, Zardoshti M: Repeated administration of pentylenetetrazole alters susceptibility of rat hippocampus to primedburst stimulation: evidence from in-vitro study on CA1 of hippocampal slices. *Brain Res* 1996; 738: 138-141
- Omrani A: Examination of adenosine effect on pentylenetetrazole induced epileptiform activity in CA1 region of hippocampal slices. Tarbiat Modares University, A. M.Sc. thesis 1998
- Krug M, Grecksch G, Schulzeck K: Pentylenetetrazole kindling changes the ability to induce potentiation phenomenon in the hippocampal CA1 region. *Physiol Behav* 1997; 62: 721-727
- Klocher N, Muhhoff U, Madeja M, Speckman EJ: Activation of ATP sensitive potassium channels in follicle enclosed *Xenopus* oocytes by the epileptogenic agent pentylenetetrazole. *Eur J Physiol* 1996; 431: 288-296
- Sugaya E, Sugaya A, Takagi T, Tsuda T, Kajiwara K, Yasuda K, Kumatsubara J: Pentylenetetrazole-induced changes of the single potassium channel in primary cultured cerebral cortical neurons. *Brain Res* 1989; 497: 239-244
- Pellmar TC, Wilson WA: Synaptic mechanism of pentylenetetrazole: selectivity for chloride conductance. *Science* 1994; 197: 217-220
- Fathollahi Y, Motamedi F, Semnanian S, Zardoshti M: Examination of persistent effect of repeated administration of pentylenetetrazole on rat hippocampal CA1: evidence from in-vitro study on hippocampal slices. *Brain Res* 1997; 758: 92-98
- Engel J, Pedley TA: Epilepsy: a comprehensive textbook, Lippincott-Reven press, Philadelphia, 1998, pp 430-476
- Ruethrich H, Grecksch G, Becker A, Krug M: Potentiation effects in the dentate gyrus of pentylenetetrazole-kindled rat. *Physiol Behav* 1996; 60: 21-24
- Leung LS, Ambrose SA: Long-term potentiation as a function of test pulse intensity: a study using input/output profiles. *Brain Res Bull* 1994; 33: 435-440
- Weiler IG, Childers WS, Greenough WT: Calcium ions impedes translation initiation at the synapse. *J Neurochem* 1996; 66: 197-202

